



دانشکده علوم پایه

« گروه فیزیک »

پایان نامه کارشناسی ارشد فیزیک

عنوان

مطالعه پدیده FCNC با استفاده از
دوقطبی الکتریکی کوارک های سنگین

نگارش

نعمه تازیک

استاد راهنمای اول

دکتر علی خرمیان

استاد راهنمای دوم

دکتر مجتبی محمدی نجف آبادی

مهر ۱۳۸۸



دانشگاه سمنان

دانشگاه سمنان

دانشکده علوم پایه

گروه فیزیک

پایان نامه کارشناسی ارشد فیزیک

تحت عنوان مطالعه پدیده FCNC با استفاده از دوقطبی الکتریکی کوارک های سنگین

ارائه شده توسط

نغمه تازیک

در تاریخ ۲۰ مهر ماه ۱۳۸۸ توسط کمیته تخصصی زیر مورد بررسی و تصویب نهایی قرار گرفت

دکتر علی خرمیان

۱- استاد راهنمای اول

دکتر مجتبی محمدی نجف آبادی

۲- استاد راهنمای دوم

دکتر سعید پاک طینت

۳- استاد داور خارجی

دکتر مهرداد قمی نژاد

۴- استاد داور داخلی

بِسْمِ اللَّهِ الرَّحْمَنِ الرَّحِيمِ

قدردانی

بر خود لازم می‌دانم از کلیهٔ افرادی که مرا در انجام این پروژه یاری نموده‌اند، خصوصاً استاد راهنمای گرامی ام جناب آقای دکتر مجتبی محمدی که در تمام مراحل انجام این پروژه زحمت‌های فراوانی را متحمل شدند و با مساعدت‌ها و راهنمایی‌های بی‌دریغ‌شان مرا یاری نمودند، همچنین از جناب آقای دکتر علی خرمیان که راهنما و مشوق من در طی دوره تحصیلیم بودند و نیز از همسرم که با صبوری همراه من در به پایان رساندن این پروژه بوده‌اند، کمال تشکر را داشته باشم.

مطالعه پدیده FCNC با استفاده از دوقطبی الکتریکی کوارک های سنگین

چکیده

مدل استاندارد در توافق بسیار خوبی با داده های تجربی کنونی است. با این وجود این باور وجود دارد که سوالهای بسیاری بی پاسخ مانده اند، و این باور موجب تلاشهای نظری و تجربی بسیار زیاد برای کشف یک نظریه بنیادی شده است. انواع مختلف آزمایشات ممکن است وجود یک نظریه ماورأ مدل استاندارد، مانند جستجوی مستقیم برای تولید ذرات شگفت در انرژیهای بالا را تائید کنند. یک نگرش تکمیلی در جستجو برای فیزیک جدید، بررسی اثرات غیرمستقیم آن در فرآیندهای مراتب بالاتر است. از آنجا که کوارک تاپ بسیار سنگین تر از دیگر فرمیون های مدل استاندارد است، برهم کنش هایش ممکن است کاملاً حساس باشد به فیزیک جدیدی که از فیزیک انرژی های بالا نشأت می گیرد. اگر در خواص کوارک تاپ انحرافی از مدل استاندارد وجود داشته باشد، این انحراف می تواند به طور غیر مستقیم منجر به اصلاحاتی در نسبتهای شاخه ای پیش بینی شده در مدل استاندارد شود.

در مدل استاندارد به دلیل مکانیزم GIM¹ برهم کنش های جریان خنثی به دلیل تغییر طعم کوارک تاپ در سطح درختی وجود ندارند و فقط در حلقه ها دیده می شوند. بنابراین مشاهده هر فرآیند FCNC کوارک تاپ یک شاهد برای وجود مدلی مارأ مدل استاندارد است.

در چارچوب مدل استاندارد، برهم کنش های FCNC از طریق حلقه هایی رخ میدهدند که در آن حلقه ها بوزون W و کوارک های نوع پایین حضور دارند. در مدل های ماورأ مدل استاندارد، مانند MSSM یا نظریه Technicolor، گرچه برهم کنش های FCNC کوارک تاپ همچنان در سطح تک حلقه رخ میدهدند، اما آنها می توانند به طور قابل توجهی نسبت به پیش بینی های مدل استاندارد بزرگ شوند. برای مثال در MSSM، علاوه بر حلقه های بوزون W، چهار نوع حلقه در برهم کنش های FCNC کوارک تاپ سهیم هستند. در مدل MSSM، حلقه های هیگز باردار، چارجینو، نوترالینو و گلئینو در برهم کنش های FCNC کوارک تاپ سهیم دارند. در این طرح ما سهیم تک حلقه را در جفت شدگی های خنثی توسط تغییر طعم مؤثر tcZ روی گشتاور دوقطبی الکتریکی کوارک charm و تاپ مطالعه می کنیم. با استفاده از حد های موجود روی گشتاور دوقطبی الکتریکی کوارک های charm و تاپ، ما حد هایی را روی این جفت شدگی های ناهنجار FCNC قرار می دهیم.

واژه های کلیدی: مدل استاندارد ذرات بنیادی – کوارک تاپ – دوقطبی الکتریکی – FCNC

فهرست مندرجات

۷	۱ مدل استاندارد ذرات بنیادی
۷	۱-۱ مقدمه
۹	۲-۱ ناوردایی پیمانه‌ای
۹	۱-۲-۱ الکترودینامیک کوانتمی
۱۱	۲-۲-۱ کرومودینامیک کوانتمی
۱۸	۳-۱ وحدت الکتروضعیف
۱۸	۱-۳-۱ حقایق تجربی
۲۲	۲-۳-۱ نظریه $SU(2)_L \otimes U(1)_Y$
۲۶	۳-۳-۱ برهم‌کنش جریان باردار
۲۷	۴-۳-۱ برهم‌کنش جریان خنثی
۳۰	۵-۳-۱ خود برهم‌کنشی پیمانه‌ای

۳۱	۴-۱ شکست خودبخودی تقارن
۳۳	۱-۴-۱ نظریه گلدستون
۳۵	۲-۴-۱ مکانیزم Higgs - Kibble
۳۷	۳-۴-۱ پیش بینی ها
۳۹	۴-۴-۱ بوزون هیگز
۴۰	۵-۴-۱ جرم فرمیون ها
۴۲	۵-۱ دینامیک طعم
۴۶	۱-۵-۱ نقض CP

۵۱

۲ کوارک تاپ

۵۱	۱-۲ مقدمه
۵۲	۲-۲ نیاز به کوارک تاپ در مدل استاندارد
۵۴	۳-۲ پیش بینی جرم کوارک تاپ از اندازه گیری های دقیق الکتروضعیف
۵۶	۴-۲ واپاشی کوارک تاپ
۵۶	۱-۴-۲ عناصر ماتریس CKM مربوط به کوارک تاپ
۵۷	۲-۴-۲ پهنه ای واپاشی کوارک تاپ
۵۸	۵-۲ تولید کوارک تاپ

۶۰ ۶-۲ اسپین کوارک تاپ

۳ پدیده FCNC در کوارک تاپ

۶۲ ۱-۳ مقدمه

۶۳ ۲-۳ پدیده FCNC در مدل های مختلف

۶۳ ۱-۲-۳ مدل استاندارد ذرات بنیادی

۶۴ ۲-۲-۳ مدل استاندارد ابرتقارنی کمینه (MSSM)

۶۶ ۳-۲-۳ ۲HDM مدل

۶۷ ۳-۳ لاگرانژی FCNC در چارچوب مستقل از مدل

۶۸ ۱-۳-۳ نسبت شاخه ای $t \rightarrow c + Z$

۷۰ ۴-۳ پدیده FCNC در LHC

۷۲ ۵-۳ مطالعه پدیده FCNC با استفاده از دو قطبی الکترونی کوارک های top و charm

۷۶ ۶-۳ نتیجه گیری

۴ واژه‌نامه انگلیسی به فارسی

۷۷ ۷۷ واژه‌نامه

لیست اشکال

- ۱-۱ نمودار درختی فاینمن برای نابودی الکترون - پوزیترون به هادرون ها ۱۱
- ۱-۲ داده های جهانی برای نسبت شاخه ای الکترون - پوزیترون ۱۳
- ۱-۳ راس های برهم کنش برای لاغرانژی کرومودینامیک کوانتموی ۱۵
- ۱-۴ رویدادهای دو جت و سه جت از واپاشی بوزون به کوارک - ضد کوارک و کوارک - ضد کوارک - گلئون ۱۷
- ۱-۵ نمودارهای درختی فاینمن برای واپاشی میون به الکترون - نوترینوی میون - آنتی نوترینوی الکترون و برخورد الکترون و نوترینوی میون با حالت نهایی میون - نوترینوی الکترون ° ۱۹
- ۱-۶ نمودار درختی فاینمن برای برخورد الکترون - پوزیترون با حالت نهایی میون - ضد میون ۲۱

لیست اشکال

۵

- ۷-۱ راس های برهم کنش جریان باردار ۲۶
- ۸-۱ راس های برهم کنش جریان خشی ۲۷
- ۹-۱ راس های خود برهم کنشی پیمانه ای بوزون ۳۰
- ۱۰-۱ شکل پتانسیل اسکالر برای حالتی که مرربع میو مشبّت باشد (چپ) و مرربع میو منفی باشد (راست) ۳۳
- ۱۱-۱ جفت شدگی هیگز با بوزون های پیمانه ای ۳۹
- ۱۲-۱ جفت شدگی فرمیونی با بوزون هیگز ۴۱
- ۱۳-۱ گذارهای تغییر طعم در طی جفت شدگی جریان باردار بوزون های پیمانه ای باردار ۴۳
- ۱۴-۱ قیدهای تجربی در مثلث یکانی مدل استاندارد ۴۹
- ۱۵-۱ نمودارهای ترکیبی مزون خشی ۵۰
- ۱-۲ نمودار فاینمن برای واپاشی بوزون ضعیف خشی به دو فوتون ۵۳

لیست اشکال

۶

- ۲-۲ تصحیحات تک حلقه ناشی از کوارک ته و بوزون هیگز به جرم بوزون ضعیف
باردار ۵۶
- ۳-۲ تولید زوج تاپ از طریق برهم کنش های قوی ۵۹
- ۴-۲ تولید کوارک تاپ تنها از طریق برهم کنش های ضعیف در برخورد دهنده های
هادرونی ۶۰
- ۵-۲ واپاشی لپتونی تاپ در چارچوب سکون تاپ ۶۱
- ۱-۳ فرآیند تغییر طعم از طریق جریان های خنثی ۶۴
- ۲-۳ نمودارهای تغییر طعم از طریق جریان های خنثی در مدل استاندارد ابر تقارنی ۶۵
- ۳-۳ واپاشی ناهنجار کوارک تاپ در زوج تاپ ۷۰
- ۴-۳ سهم تک حلقه تغییر طعم با جریان خنثی در راس زوج افسون-گاما ۷۵

فصل ۱

مدل استاندارد ذرات بنیادی

۱-۱ مقدمه

مدل استاندارد، یک نظریهٔ پیمانه‌ای بر اساس تقارن گروه $SU(3)_C \otimes SU(2)_L \otimes U(1)_Y$ است که برهم‌کنش‌های قوی، ضعیف و الکترومغناطیسی را بر اساس تبادل میدانهای پیمانه‌ای با اسپین ۱ مربوطه‌شان توصیف می‌کند: ۸ گلئون و ۱ فوتون بدون جرم به ترتیب برای برهم‌کنش‌های قوی و الکترومغناطیسی و سه بوزن جرم دار Z^{\pm} برای برهم‌کنش‌های ضعیف. فرمیون‌ها نیز از لپتون‌ها و کوارک‌های شناخته شده ساخته شده‌اند که در سه نسل طبقه بندی می‌شوند.

$$\begin{pmatrix} \nu_e & u \\ e^- & d' \end{pmatrix} \begin{pmatrix} \nu_\mu & c \\ \mu^- & s' \end{pmatrix} \begin{pmatrix} \nu_\tau & t \\ \tau^- & b' \end{pmatrix} \quad (1-1)$$

که (هر کوارک در قالب سه رنگ مختلف ظاهر می‌شود).

$$\begin{pmatrix} \nu_l & q_u \\ l^- & q_d \end{pmatrix} \equiv \begin{pmatrix} \nu_l \\ l^- \end{pmatrix}_L, \begin{pmatrix} q_u \\ q_d \end{pmatrix}_L, l_R^-, q_{uR}, q_{dR} \quad (2-1)$$

به علاوهً ضد ذرهایشان. میدان‌های چپگرد، اسپینور هستند در حالیکه جفت‌های راستگردها به طور یکتا در $SU(2)$ تبدیل می‌شوند. سه نسل فرمیونی معادله (۱-۱) خصوصیات یکسانی دارند (برهم‌کنش‌های پیمانه‌ای). تنها اختلاف آنها در جرم و عدد کوانتموی طعم است. تقارن پیمانه‌ای در خلا شکسته می‌شود و این شکست خودبخودی تقارن (SSB)، گروه الکترووضعیف را به زیرگروه الکترومغناطیسی تبدیل می‌کند.

$$SU(3)_C \otimes SU(2)_L \otimes U(1)_Y \quad \longrightarrow \quad SU(3)_C \otimes U(1)_{QED} \quad (3-1)$$

مکانیزم SSB جرم بوزونهای پیمانه‌ای ضعیف را تولید می‌کند و باعث ظهور یک ذره نرده‌ای فیزیکی در این مدل می‌شود که هیگز^۱ نامیده می‌شود. جرم فرمیون‌ها و ترکیب‌هایشان نیز در طی مکانیزم SSB تولید می‌شوند.

SM (مدل استاندارد) یکی از بزرگترین موفقیت‌ها در فیزیک مدرن است. این مدل یک چارچوب نظری بسیار زیبا را ایجاد کرد که قادر به توصیف حقایق تجربی شناخته شده در فیزیک با دقت بالا است. قدرت اصل پیمانه‌ای در بخش ۲ آنجا که لاکرانژی‌های ساده الکترودینامیک کوانتموی و کرومودینامیک کوانتموی استنتاج می‌شوند، مشخص می‌شود. چارچوب نظری الکترووضعیف در بخش‌های ۳ و ۴ ارائه شده‌اند که به ترتیب ساختار پیمانه‌ای و مکانیسم SSB را توصیف می‌کنند.

[۱-۴]

Higgs^۱

۱-۲ ناوردایی پیمانه‌ای

۱-۲-۱ الکترودینامیک کوانتومی

لاگرانژی توصیف کننده یک فرمیون دیراکی آزاد:

$$\mathcal{L}_0 = i\bar{\psi}(x)\gamma^\mu\psi(x) - m\bar{\psi}(x)\psi(x) \quad (4-1)$$

تحت تبدیلات جهانی $(1) U$ ناورداست:

$$\psi(x) \longrightarrow \psi'(x) \equiv \exp \{iQ\theta\} \psi(x) \quad (5-1)$$

که $Q\theta$ یک ثابت حقیقی دلخواه است. فاز $(X)\psi$ یک مقدار قراردادی مستقل بدون معنای فیزیکی است. بنابراین اگر تبدیل فاز را تابعی از مختصات فضا-زمان در نظر بگیریم لاگرانژی آزاد دیگر ناورد نخواهد بود. مثلاً تحت فاز موضعی $(x)\theta = \theta$, از آنجا که داریم:

$$\partial_\mu\psi(x) \longrightarrow \exp \{iQ\theta\} (\partial_\mu + iQ\partial_\mu\theta) \psi(x) \quad (6-1)$$

اگر فاز قراردادی در نقطه X پذیرفته شود همین مقدار باید در همه نقاط فضا-زمان به کار رود. این به نظر خیلی غیر طبیعی می‌آید.

اصل پیمانه‌ای نیازمند اینست که ناوردایی فاز $(1) U$ به طور موضعی حفظ شود. این فقط وقتی امکان‌پذیر است که یک بخش دیگر را به لاگرانژی اضافه کنیم که چنان تبدیل شود که ∂_μ را در معادله $(1-6)$ حذف کند. اصلاحات مورد نیاز کاملاً توسط تبدیل $(1-6)$ صورت می‌پذیرند. اکنون یک میدان جدید $A_\mu(x)$ با اسپین ۱ را معرفی می‌کنیم که به صورت زیر تبدیل می‌شود:

$$A_\mu(x) \longrightarrow A'_\mu(x) \equiv A_\mu(x) - \frac{1}{e} \partial_\mu \theta \quad (7-1)$$

و نیز مشتق همودایی به شکل زیر:

$$D_\mu \psi(x) \equiv [\partial_\mu + ieQ A_\mu(x)] \psi(x) \quad (8-1)$$

که مانند میدان تبدیل می شود:

$$D_\mu \psi(x) \longrightarrow (D_\mu \psi)'(x) \equiv \exp \{iQ\theta\} D_\mu \psi(x) \quad (9-1)$$

پس لاگرانژی

$$\mathcal{L} \equiv i\bar{\psi}(x)\gamma^\mu D_\mu \psi(x) - m\bar{\psi}(x)\psi(x) = \mathcal{L}_0 - eQ A_\mu(x) \bar{\psi}(x) \gamma^\mu \psi(x) \quad (10-1)$$

تحت تبدیلات موضعی $(1) U$ ناوردادست.

اصل پیمانه‌ای برهم‌کنشی را بین اسپینور دیراک و میدان پیمانه‌ای موجب می شود که چیزی جز همان رأس آشنای الکترودینامیکی (QED) نیست. توجه کنید که بار الکترومغناطیسی Q کاملاً دلخواه است. اگر بخواهیم که A به واقع انتشارگر میدان باشد، لازم است که یک جمله جنبشی ناوردای پیمانه‌ای به آن اضافه کیم:

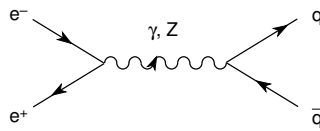
$$\mathcal{L}_{Kin} \equiv -\frac{1}{4} F_{\mu\nu}(x) F^{\mu\nu}(x) \quad (11-1)$$

که $F_{\mu\nu} \equiv \partial_\mu A_\nu - \partial_\nu A_\mu$ بزرگی میدان الکترومغناطیسی معمولی است. جمله جنبشی ممکن برای میدان پیمانه‌ای $\mathcal{L}_m = \frac{1}{2} m^2 A^\mu A_\mu$ ممنوع می باشد زیرا ناوردایی پیمانه‌ای را نقض می کند. بدین ترتیب پیش بینی می شود که میدان فوتونی بدون جرم باشد. به طور تجربی می دانیم که $M_\gamma < 6 \times 10^{-17} eV$ است.^[5] از لاگرانژی کل در معادلات $(10-1)$ و $(11-1)$ به معادلات

مشهور ماکسول می‌رسیم:

$$\partial_\mu F^{\mu\nu} = J^\nu \equiv eQ \bar{\psi} \gamma^\nu \psi \quad (12-1)$$

که J^ν جریان الکترومغناطیسی فرمیونی است. سمت راست لاگرانژی QED به دلیل نیاز به یک تقارن پیمانه‌ای ساده نتیجه می‌شود که منجر به یک نظریه میدان کوانتومی موفق می‌شود.



شکل ۱-۱: نمودار درختی فاینمن برای نابودی الکترون – پوزیترون به هادرон‌ها

۲-۲-۱ کرومودینامیک کوانتومی

کوارک و رنگ

تعداد زیادی از حالات مزونی و باریونی شناخته شده به طور واضح پیام وجود یک سطح عمیق‌تر از ذرات بنیادی تشکیل دهنده ماده را می‌دهند: کوارک. با فرض اینکه مزون‌ها حالت $M \equiv q\bar{q}$ را دارند در حالیکه باریون‌ها سه کوارک دارند $B \equiv qqq$, می‌توانیم به خوبی تمام طیف هادرونی را طبقه بندی کنیم. بنابراین برای برآورده کردن شرایط آمار فرمی – دیراک نیاز به فرض وجود یک عدد کوانتومی جدید داریم: رنگ. به طوری که هر کوارک ممکن است سه رنگ مختلف $N_c = 3$ داشته باشد: $q^\alpha, \alpha = 1, 2, 3$ (قرمز، سبز، آبی). پس مزون‌ها و باریون‌ها با ترکیبات تکتایی رنگ توصیف

می شوند.

$$B = \frac{1}{\sqrt{4}} \epsilon^{\alpha\beta\gamma} | q_\alpha q_\beta q_\gamma > \quad M = \frac{1}{\sqrt{3}} \delta^{\alpha\beta} | q_\alpha \bar{q}_\beta > \quad (13-1)$$

به منظور جلوگیری از وجود حالات بالاتر مشاهده نشده با رنگ غیر صفر، باید ادعا کنیم که همه حالات مجانبی بدون رنگ هستند مانند یکتاهای تحت چرخش در فضای رنگ. این فرض به عنوان فرضیه محدود بودن شناخته می شود، زیرا این فرضیه دلالت بر مشاهده ناپذیری کوارک های آزاد دارد. از آنجا که کوارک ها حامل رنگ هستند، در یک حالت مرزی یکتای رنگ محدودند.

یک معیار مستقیم برای عدد کواتومی رنگ رابطه زیر است:

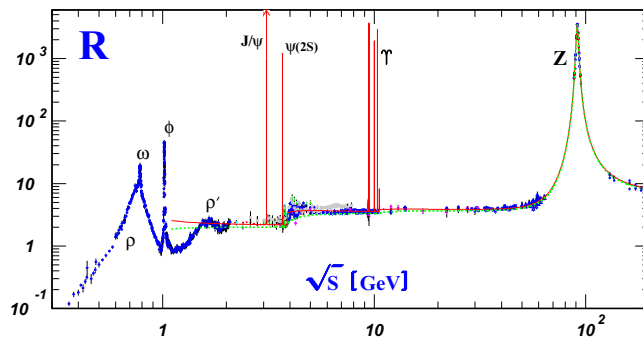
$$R_{e^+e^-} \equiv \frac{\sigma(e^+e^- \rightarrow hadrons)}{\sigma(e^+e^- \rightarrow \mu^+\mu^-)} \quad (14-1)$$

تولید هادرон در طی فرآیند $Z^* \rightarrow q\bar{q} \rightarrow hadrons$ و $e^+e^- \rightarrow \gamma^*$ رخ می دهد (شکل ۱-۱). از آنجا که فرض می شود کوارک ها محدودند، احتمال هادرونیزه شدن یک است. بنابراین با جمع روی همه کوارک های موجود در حالت نهایی، می توانیم سطح مقطع را برای هادرون ها تخمین بزنیم. فاکتورهای تولید الکترو وضعیف که با فرآیند $\gamma^* \rightarrow e^+e^-$ و $\mu^+\mu^- \rightarrow Z^*$ مشترک است در نسبت بالا حذف می شود. در انرژی های خیلی پایین تر از Z peak سطح مقطع ناشی از تبادل γ مهم تر است. در نتیجه نسبت $R_{e^+e^-}$ از جمع مربع های بارهای الکتریکی کوارک ها به دست می آید:

$$\begin{aligned} R_{e^+e^-} \approx N_C \sum_{f=1}^{N_f} Q_f^2 &= \frac{2}{3} N_C = 2 \quad (N_f = 3 : u, d, s) \\ &= \frac{10}{9} N_C = \frac{10}{3} \quad (N_f = 4 : u, d, s, c) \\ &= \frac{11}{9} N_C = \frac{11}{3} \quad (N_f = 5 : u, d, s, c, b) \end{aligned} \quad (15-1)$$

نسبت اندازه‌گیری شده، در شکل (۱-۲) نشان داده شده است. اگرچه معادله ساده (۱-۱۵) نمی‌تواند ساختار پیچیده کوارک‌های مختلف را حول آستانه توصیف کند، اما مقدار میانگین درستی از سطح مقطع (در نقاط دور از آستانه) به ما می‌دهد، مشروط به اینکه $N_c = 3$. توقیفات در انرژی‌های بالاتر بیشتر می‌شود. توجه کنید که برهم‌کنش‌های قوی در نظر گرفته نشده‌اند؛ فقط از فرضیه محدود بودن استفاده شده است.

برهم‌کنش‌های الکترومغناطیسی توسط بار الکتریکی فرمیون‌ها رخ می‌دهند، در حالیکه پدیده‌های الکتروضعیف با طعم کوارک (u, d, s, c, b, t) مرتبط‌اند. نیروهای قوی مستقل از طعم هستند و طعم را پاییسته نگه می‌دارند. از طرف دیگر، حاملان نیروی الکتروضعیف (W^\pm, Z, γ) با رنگ کوارک جفت نمی‌شوند بنابراین طبیعی به نظر می‌رسد که رنگ به عنوان بار شرکت کننده در نیروهای قوی در نظر گرفته شود و سعی کنیم یک نظریه میدان کواتومی براین اساس بسازیم [۶ و ۷].



شکل ۱-۲: داده‌های جهانی برای نسبت شاخه‌ای الکترون – پوزیترون

تقارن پیمانه‌ای غیرآبلی

فرض می‌کنیم q_f^α یک میدان کوارکی با رنگ α و طعم f است. برای ساده کردن معادلات، برداری در فضای رنگ در نظر می‌گیریم: $q_f^T \equiv (q_f^1, q_f^2, q_f^3)$.

لاگرانژی آزاد:

$$\mathcal{L}_\circ = \sum_f \bar{q}_f (i\gamma^\mu \partial_\mu - m_f) q_f \quad (16-1)$$

تحت تبدیلات $SU(3)_C$ کلی در فضای رنگ ناورداست:

$$q_f^\alpha \rightarrow (q_f^\alpha) = U_\beta^\alpha q_f^\beta, \quad UU^\dagger = U^\dagger U = 1, \quad \det U = 1 \quad (17-1)$$

ماتریس‌های $SU(3)_C$ به شکل زیر نوشته می‌شوند:

$$U = \exp \left\{ i \frac{\lambda^a}{\sqrt{3}} \theta_a \right\} \quad (18-1)$$

که (λ^a, θ_a) مولدهای $SU(3)_C$ هستند، و λ^a پارامترهای دلخواه هستند. ماتریس‌های λ^a بدون تریس هستند و در رابطهٔ جابجایی زیر صدق می‌کنند:

$$[\frac{\lambda^a}{\sqrt{3}}, \frac{\lambda^b}{\sqrt{3}}] = if^{abc} \frac{\lambda^c}{\sqrt{3}} \quad (19-1)$$

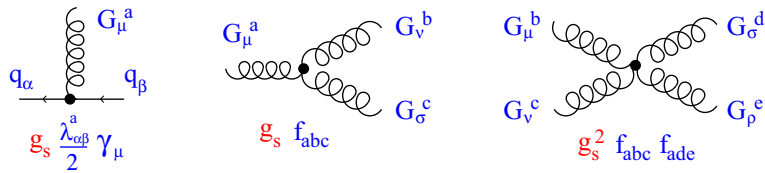
که f^{abc} ثابت ساختار $SU(3)_C$ هستند که حقیقی و پادتقارنند.

همانند QED ، در اینجا نیز به لاگرانژی‌ای نیاز داریم که تحت تبدیلات $SU(3)_C$ موضعی ناوردا باشد: $\theta_a(x) = \theta_a$. به منظور رفع این نیاز، لازم است که یک مشتق هموردا تعریف کیم. از آنجا که ما اکنون ۸ پارامتر مستقل پیمانهای داریم، ۸ بوزون پیمانهای مختلف G_a^μ ، که گلشون نامیده می‌شوند، لازم است:

$$D_{q_f}^\mu \equiv \left[\partial^\mu + ig_s \frac{\lambda^a}{\sqrt{3}} G_a^\mu(x) \right] q_f \equiv [d^\mu + ig_s G^\mu(x)] q_f \quad (20-1)$$

توجه کنید که ما یک نمایش ماتریسی فشرده معرفی کرده‌ایم:

$$[G^\mu(x)]_{\alpha\beta} \equiv \left(\frac{\lambda^a}{\gamma} \right)_{\alpha\beta} G_a^\mu(x). \quad (21-1)$$



شکل ۱-۳: راس‌های برهم‌کنش برای لاگرانژی کرومودینامیک کوانتومی

ما می‌خواهیم که دقیقاً همانند بردار رنگ q_f تبدیل شود؛ در تیجه مشخصات تبدیل برای میدان‌های پیمانه‌ای اینگونه می‌شوند:

$$D^\mu \longrightarrow (D^\mu)' = U D^\mu U^\dagger, \quad G^\mu \longrightarrow (G^\mu)' = U G^\mu U^\dagger + \frac{i}{g_s} (\partial^\mu U) U^\dagger \quad (22-1)$$

تحت یک تبدیل $SU(3)_C$ بی‌نهایت کوچک داریم:

$$\begin{aligned} q_f^\alpha &\rightarrow (q_f^\alpha)' = q_f^\alpha + i \left(\frac{\lambda^a}{\gamma} \right)_{\alpha\beta} \delta\theta_a q_f^\beta, \\ G_a^\mu &\rightarrow (G_a^\mu)' = G_a^\mu - \frac{1}{g_s} \partial^\mu (\delta\theta_a) - f^{abc} \delta\theta_b G_c^\mu \end{aligned} \quad (23-1)$$

تبدیلات پیمانه‌ای میدان‌های گلئونی پیچیده‌تر از چیزی است که در QED برای فوتون به دست آورده‌یم. پادجایجایی ماتریس‌های $SU(3)_C$ موجب افزودن یک جملهٔ اضافی، شامل میدان‌های